
Beams of the LPI synchrotron "Pakhra" for calibration of NICA detectors

V. A. Baskov, A. I. Lvov, V. V. Polyansky

*P. N. Lebedev Physical Institute of Russian Academy of Sciences, Department
of nuclear research, MOSCOW*

Introduction

The experimental **SPD** and **MPD** facilities contains many detectors of various types and equipment. In many cases, calibration of detectors and equipment is required. For these purposes, accelerators generating beams are needed. The synchrotron "**Pakhra**" is the continuously operating accelerator in Russia, generating electron and photon beams. Synchrotron "**Pahra**" of the Lebedev Physical Institute is located in the city of Troitsk near Moscow in new Moscow (about 20 km).



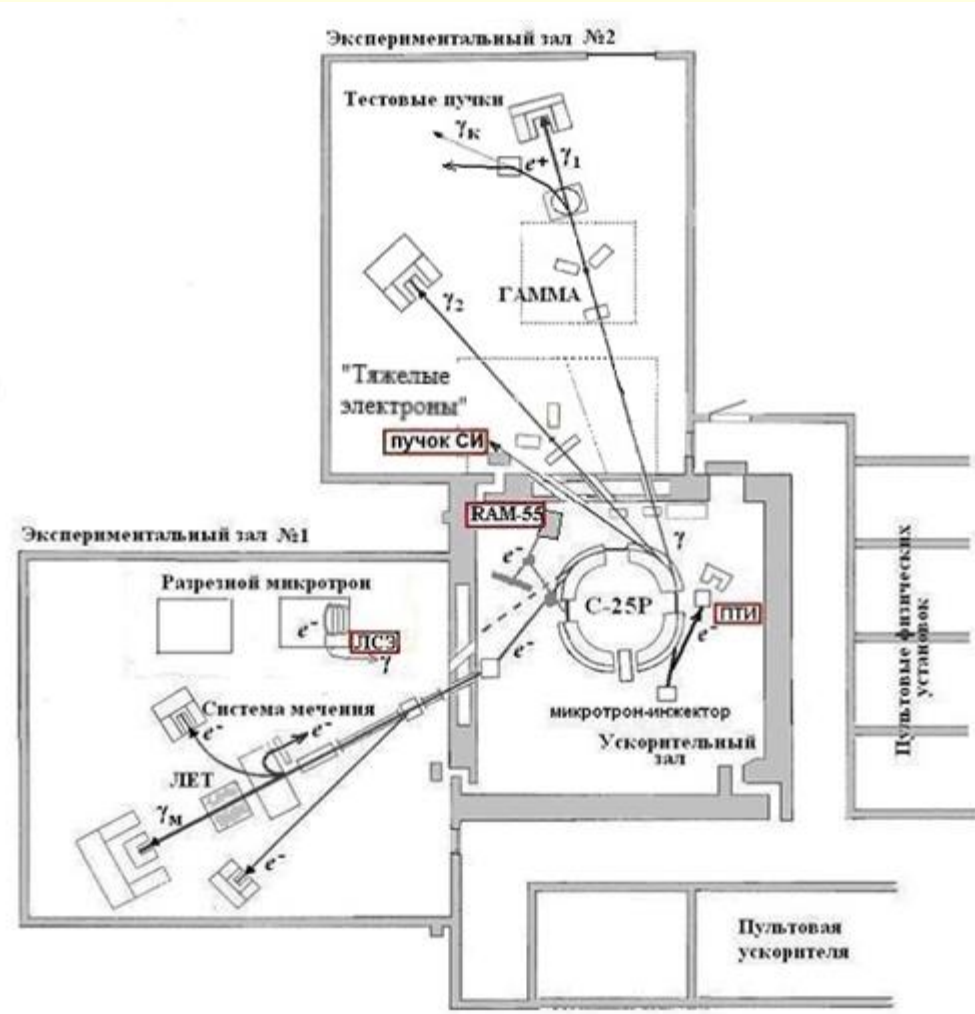
2016.05.12 15:14



2016.05.16 10:38

"Pakhra"

LPI ACCELERATOR



The energy of electrons in the ring - $E = 200\text{-}850 \text{ MeV}$

The intensity of $E \sim 10^{12} \text{ e-/sec}$

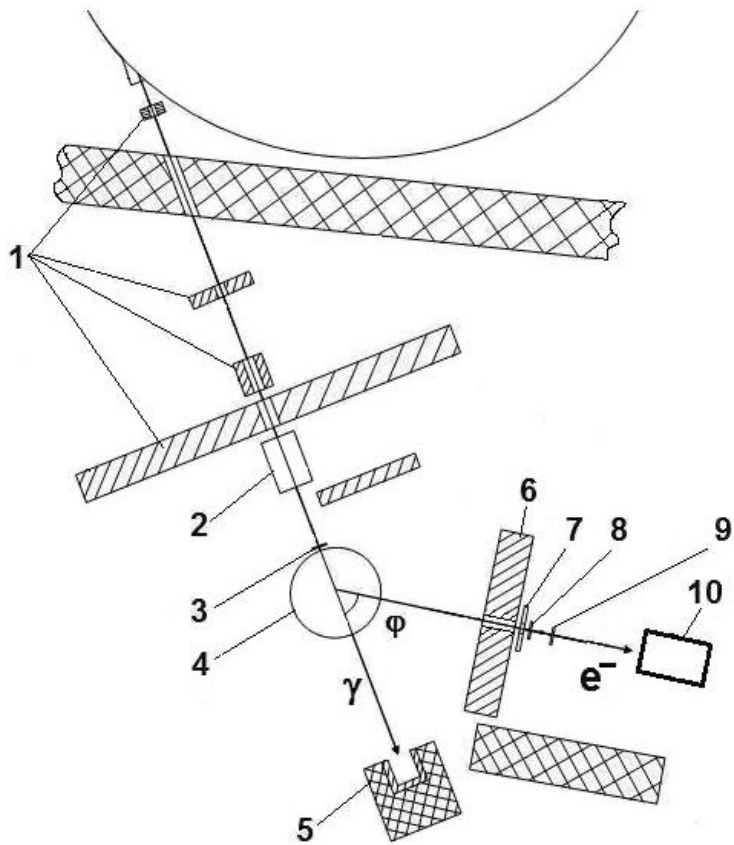
Frequency - 50 1/sec

Stretching $\Delta T \sim 3 \text{ msec}$

Duty factor - 0.15

Scheme of beams of the S-25
"PAKHRA" accelerator.

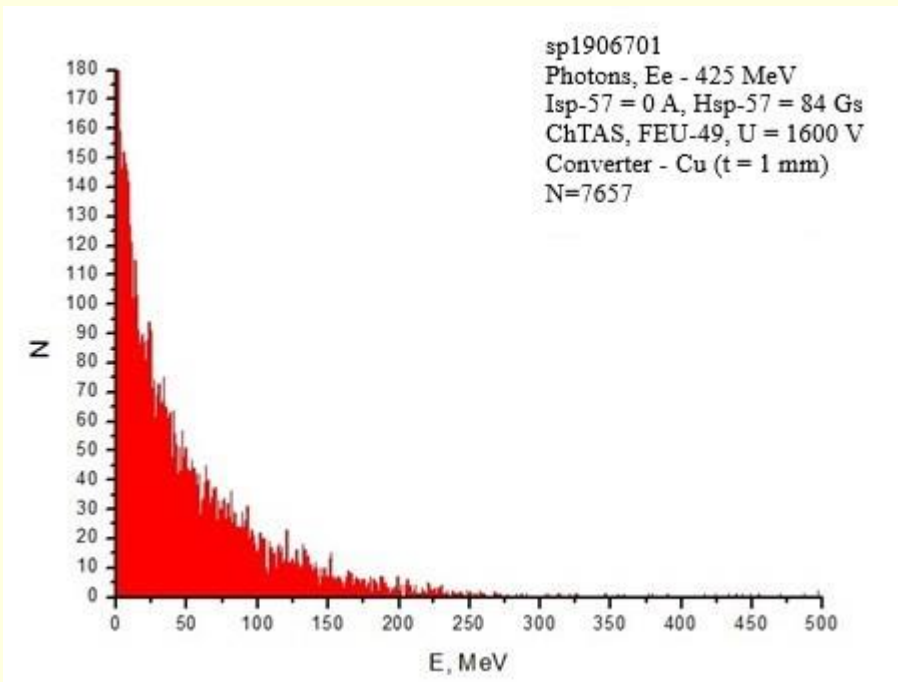
Calibration beam of secondary electrons (2 experimental hall)



The scheme of the calibration secondary electron beam:

- 1 - lead collimators;
- 2 - cleaning magnet SP-3;
- 3 - Converter;
- 4 - magnet SP-57;
- 5 - photon beam absorber ("burial ground");
- 6 - collimator;
- 7 - scintillation counter of anti-falls A;
- 8, 9 - trigger scintillation counters S1 and S2;
- 10 – investigated detector.

Photon beam



The spectrum of photons obtained with the help of Cherenkov spectrometer (ChTAS) (the width of the slit lead collimator in front of the ChTAS was 5 mm).

$$\langle E_\gamma \rangle = 56 \text{ MeV.}$$

Monitoring systems of the photon beam

Photon beam monitoring system (intensity control):

at the entrance to the channel

on the Converter before the SP-57

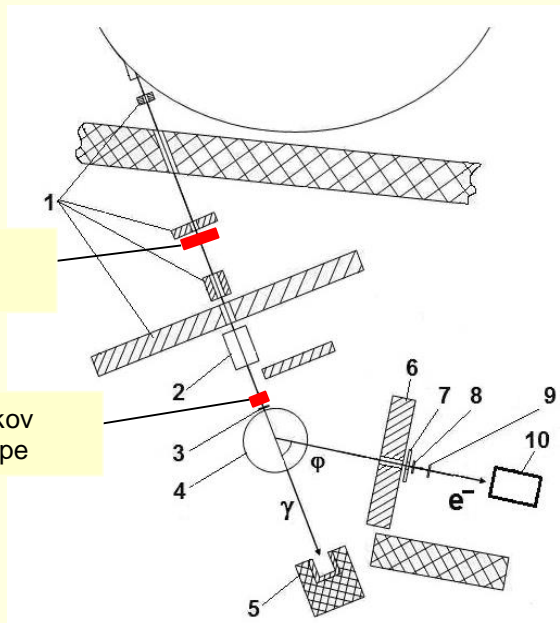
$$I_{C-25R} \sim 1.7 \cdot 10^9 \text{ Y/sek.}$$

The features of using Cherenkov radiation for photon beam monitoring are:

1. Fast time of Cherenkov pulse formation (compared to scintillation pulse by ~3-5 times);
2. The efficiency of the interaction of photons with matter in comparison with the interaction of electrons is $\sim 10^3 - 10^4$ less;
3. Good radiation resistance of the Plexiglas compared to the scintillator.
4. **The most important** thing is the proportional dependence of the number of Cherenkov photons on the number of $e - e^+$ pairs converted in the substance of the counter, which makes it possible to compare the number of registered $e-e^+$ pairs to the number of photons passed through it and the total intensity of the photon beam. The estimation shows that the number of Cherenkov photons passing through a 1 cm thick plexiglass photon beam with an intensity of $\sim 10^9 \text{ y/s}$ is $NPF \sim 5 \times 10^7 - 5 \times 10^8 \text{ photons/s}$ (taking into account the passage of two particles – an electron-positron pair), which is quite acceptable for creating a monitoring system. Using a hodoscope as an active radiator makes it possible to determine the point of conversion of a photon into an electron-positron pair and the point of entry of this pair into the magnetic field of SP-57.

Monitoring of the photon beam

Cherenkov monitor

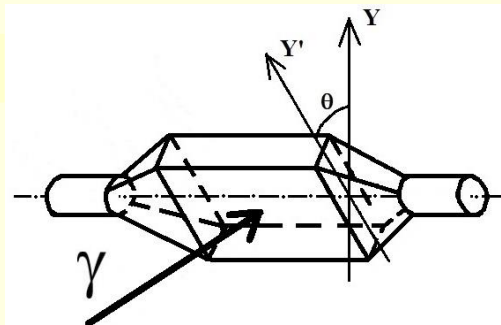


Cherenkov horoscope



Cherenkov horoscope

M1

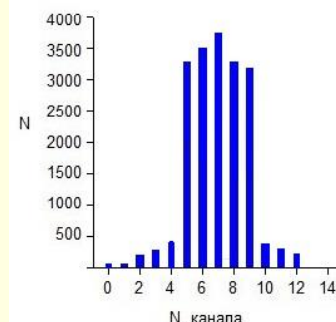


M2

$$V = 100 \times 100 \times 10 \text{ mm}^3$$

$$N_{M1} = N_{M2} \sim 10000 \text{ 1/s}$$
$$N_{M1 \times M2} \sim 2000 \text{ 1/s}$$

Cherenkov monitor



The photon beam profile measured by a hodoscope based on Cherenkov counters in front of the radiator (3) on the section of the poles of the SP-57 magnet (4).

Workspace



$$\text{Trigger : } T = (C_1 \cdot C_2 \cdot C_3) \cdot A$$

The size of the trigger counters:

$C_1, C_2, C_3 - 15 \times 15 \times 1 \text{ mm}^3$

$A - 40 \times 90 \times 1 \text{ mm}^3$, hole diameter $\varnothing 10 \text{ mm}$



General view of the workplace



30 05 2019

Coordinate table:

Travel range: X – 0 – 50 sm; no Y – 0 – 40 sm

The accuracy of movement : $\Delta x(y) = \sim 2 \text{ mm}$

Weight of the detector $P_{\text{detector}} = \sim 30 \text{ kg}$

Secondary electron beam

The energy resolution of $\delta = 10 - 4.5 \%$

Energy of bremsstrahlung photons – $E_{\max} = 200 - 500 \text{ MeV}$

The intensity of bremsstrahlung photons – $\sim 1.7 \cdot 10^9 \gamma/\text{sec}$

The thickness of the Converter (3) – 0.1 – 5 mm Cu

The diameter of the collimator (6) – 10 mm

Field of the SP-57 (4) magnet (4) – 0.2 – 1.0 T

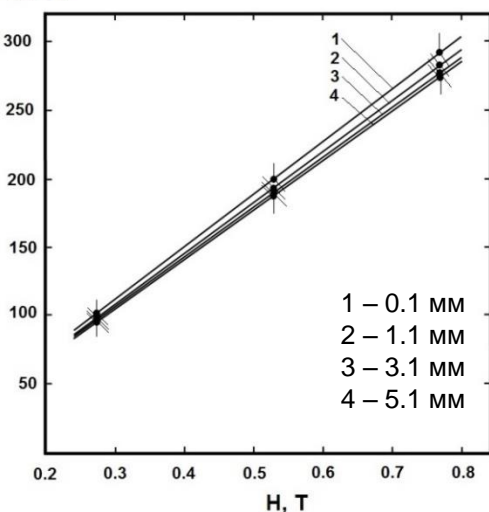
Energy of the calibration beam of secondary electrons – $E_e = 30 - 300 \text{ MeV}$

The energy resolution:

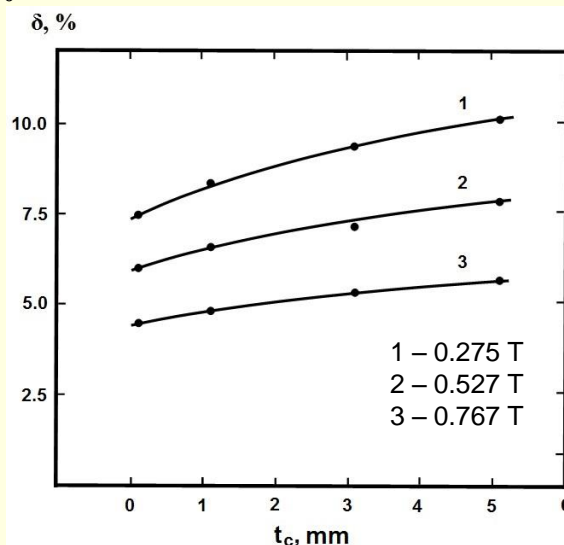
The range of energies – $\Delta E = 100 - 300 \text{ MeV}$

The energy resolution of – $\delta = 10 - 4.5 \%$

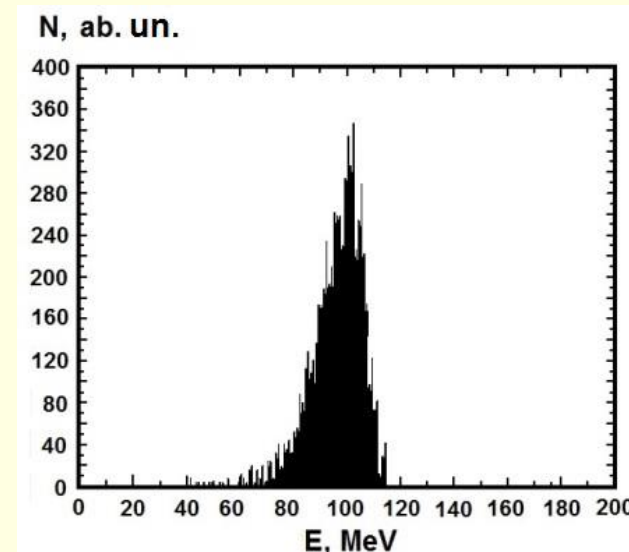
$E, \text{ MeV}$



Dependence of the secondary electron energy on the Converter thickness and the SP-57 field.



Dependence of the energy resolution of the electron beam on the Converter thickness and the SP-57 field.

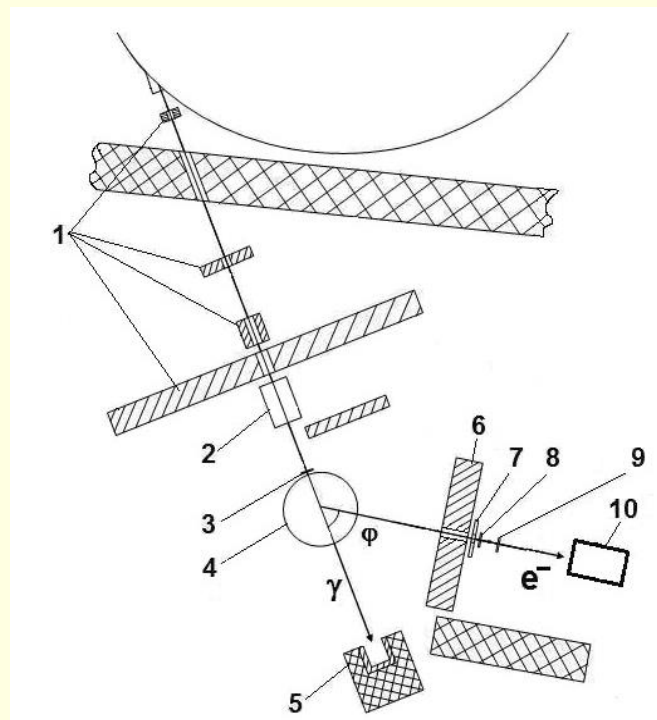


Optimization of channel element parameters

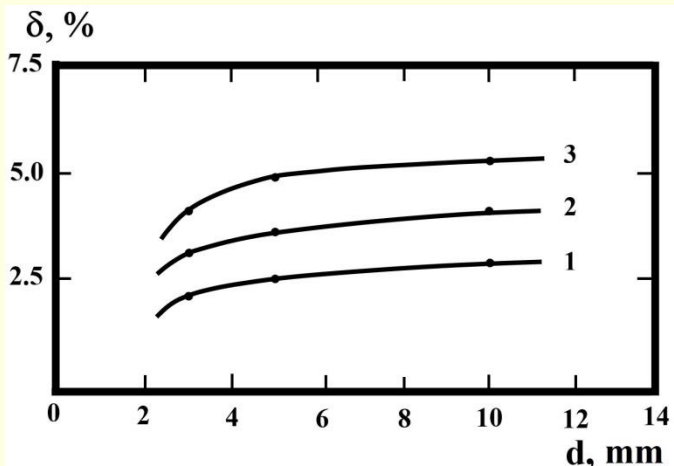
1. The trigger parameters $T = (S_1 \times S_2) \times A$ (the number of counters, the size counters and the distance between them) (7 и 8)
2. The thickness of the Converter (3)
3. The hole diameter of the collimator (6)



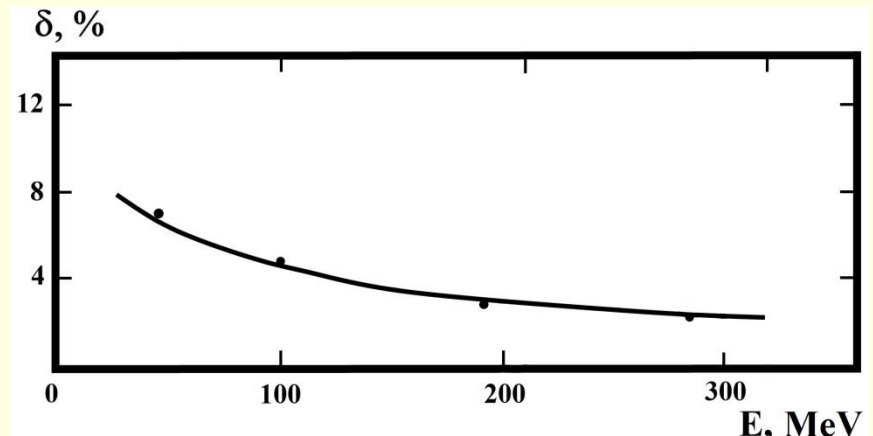
- | | |
|-------------------------|--|
| 2 | |
| 10×10×5 mm ³ | |
| 32 sm | |
| 1 – 3 mm | |
| 3 – 10 mm | |



Results

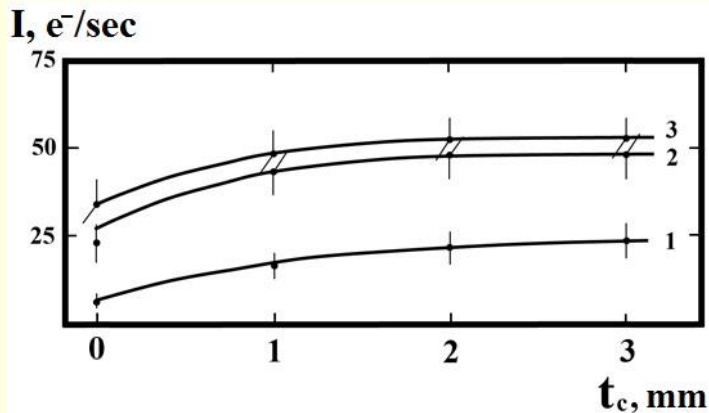


Dependence of the relative energy resolution of the secondary electron beam on the diameter of the collimator hole d and the thickness of the Converter t_c at the electron beam energy $E = 280$ MeV. In figure : 1 – $t_c = 3$ mm; 2 – $t_c = 5$ mm; 3 – $t_c = 10$ mm.



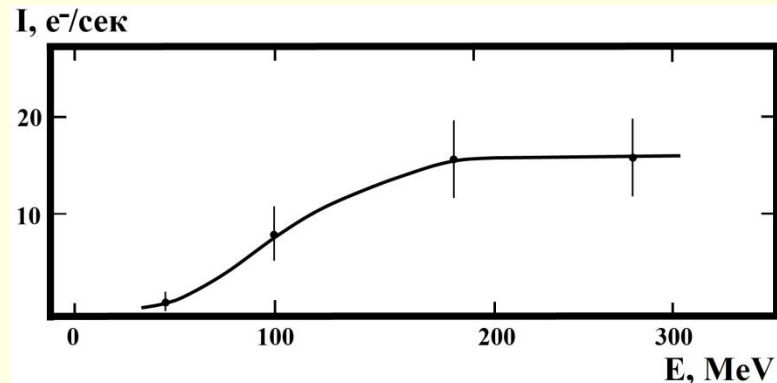
Dependence of the relative energy resolution of the secondary electron beam on the energy at $t_c = 1$ mm и $d = 3$ mm.

Results



Dependence of the electron beam intensity on the thickness of the Converter t_c and the diameter of the collimator hole d at the electron beam energy $E = 280 \text{ MeV}$.

In figure : 1 – $d = 3 \text{ mm}$; 2 – $d = 5 \text{ mm}$; 3 – $d = 10 \text{ mm}$.

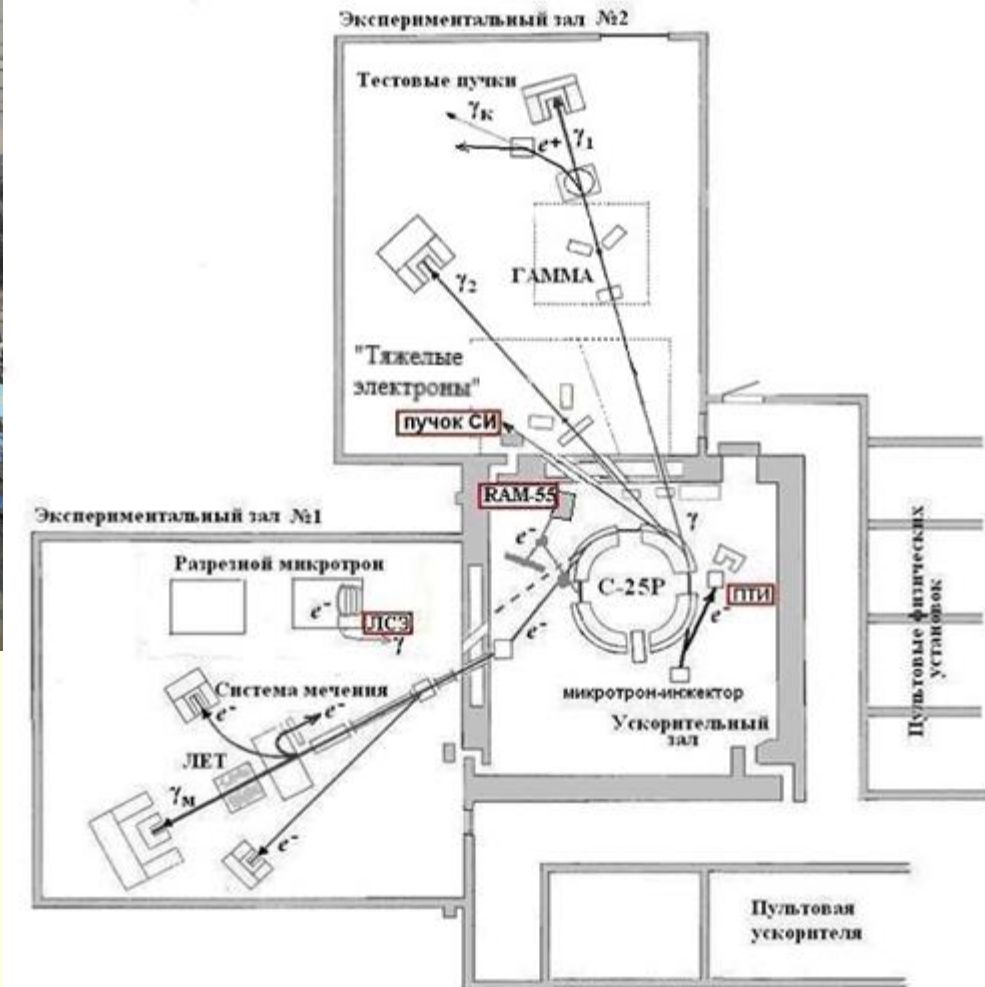


Dependence of the electron beam intensity on the energy at $t_c = 1 \text{ mm}$ и $d = 3 \text{ mm}$.

The slow channel output



Channel for slow output of the e-beam.



Scheme of beams of the S-25 PAKHRA ACCELERATOR of the LPI.

The slow channel output Plans

1. Trigger parameters T=S1×S2:

number of counters -

size of counters -

distance between them –

2

$10 \times 10 \times 5 \text{ mm}^3$

60 sm

2. Diameter of the collimator hole in front of
the 2nd lens inside the channel



4.5 mm

3. Size of the electron beam at the entrance
to the detector to be calibrated -

~10 mm

- intensity at the exit of the accelerator $\sim 10^{10} \text{ e}^-/\text{s}$
- intensity in the work area of the 1 hall $\sim 10^3 - 10^5 \text{ e}^-/\text{s}$
- energy range $E_e = 200 - 500 \text{ MeV}$,
- $\delta_e \sim 1\%$.

The calibration work that had been done

№ п/ п	Институт, установка, группа, ответственн ый	Цель работы	Место работ ы (№ зала)	Время работы	Примечание
1	ГАММА- 400, Архангельск ий А	Калибровка аппаратуры и детекторов	2	1 - 8 декабря 2017 г.	
2	ИЯИ, Джилкибаев Р.	Исследование характеристик нейтронного детектора	2	26 декабря 2017 г.	
3	ГАММА- 400, Архангельск ий А.	Калибровка аппаратуры и детекторов	2	18 - 23 апреля 2018 г.	
4	ГАММА- 400, Архангельск ий А.	Калибровка аппаратуры и детекторов	2	21 - 25 мая 2018 г.	

The calibration work that had been done

5	ГАММА-400, Архангельский А.	Калибровка аппаратуры и детекторов	2	28 - 30 ноября 2018 г.	
6		Работы не велись ввиду отсутствия электроэнергии		март - сентябрь 2019 г.	Авария на подстанции ускорителя С-25Р
7	MPD NICA (Дубна), Тяпкин А.	Исследование характеристик одиночного модуля электромагнитного калориметра ECAL MPD	2	30, 31 октября 2019 г.	
8	Установка BMN (Дубна)	Исследование эффективности работы элемента черенковского гадоскопа на основе кварцевого стекла	2	6 ноября 2019 г.	

The calibration work that had been done

9	ГАММА-400, Архангельский А.	Калибровка аппаратуры и детекторов	2	28 - 30 ноября 2018 г.	
6		Работы не велись ввиду отсутствия электроэнергии		март - сентябрь 2019 г.	Авария на подстанции ускорителя С-25Р
7	MPD NICA (Дубна), Тяпкин А.	Исследование характеристик одиночного модуля электромагнитного калориметра ECAL MPD	2	30, 31 октября 2019 г.	
8	Установка В@N (Дубна)	Исследование эффективности работы элемента черенковского годоскопа на основе кварцевого стекла	2	6 ноября 2019 г.	

The calibration work that had been done

9	MPD NICA (Дубна), Тяпкин А	Исследование характеристик одиночного модуля электромагнитного калориметра ECAL MPD	2	30, 31 октября 2019 г.	
10	Установка B@N (Дубна)	Исследование эффективности работы элемента черенковского голоскопа на основе	2	23 декабря 2019 г.	
11	MPD NICA (Дубна), Тяпкин А.	Исследование характеристик одиночного модуля электромагнитного калориметра ECAL MPD	2	29, 30 декабря 2019 г.	
12	MPD NICA (Дубна), Тяпкин А.	Исследование характеристик одиночного модуля электромагнитного калориметра ECAL MPD	2	29, 30 января 2020 г	

Results of 2019-2020, articles

1. Алексеев В.И., Басков В.А., Дронов В.А., Львов А.И., Кречетов Ю.Ф., Малиновский Е.И., Павлюченко Л.Н., Полянский В.В., Сидорин С.С. «КАЛИБРОВОЧНЫЙ КВАЗИМОНОХРОМАТИЧЕСКИЙ ПУЧОК ВТОРИЧНЫХ ЭЛЕКТРОНОВ УСКОРИТЕЛЯ С-25Р «ПАХРА»» // ПТЭ. 2019. № 2. С.1-7; DOI: 10.1134/S0032816219020162
2. Алексеев В.И., Басков В.А., Дронов В.А., Львов А.И., Кречетов Ю.Ф., Малиновский Полянский В.В «РЕГИСТРАЦИЯ НИЗКОЭНЕРГЕТИЧЕСКИХ ЭЛЕКТРОНОВ ЧЕРЕНКОВСКИМ СПЕКТРОМЕТРОМ ПОЛНОГО ПОГЛОЩЕНИЯ» // arXiv.org > physics > arXiv: 1911. 12608; КСФ. 2019. №9. С. 31-37; DOI: 10.3103/S1068335619090057
3. Алексеев В.И., Басков В.А., Далькаров О.В., Кольцов А.В., Львов А.И., Мамонов И.А., Павлюченко П.Н., Полянский В.В «МОНИТОР ЭЛЕКТРОННОГО ПУЧКА НА ОСНОВЕ ЧЕРЕНКОВСКОГО СЧЕТЧИКА» // КСФ. 2019. №11. С. 37-43; DOI: 10.3103/S1068335619110071
4. Алексеев В.И., Басков В.А., Дронов В.А., Львов А.И., Кречетов Ю.Ф., Кольцов А.В., Полянский В.В., Сидорин С.С. «ХАРАКТЕРИСТИКИ КАЛИБРОВОЧНОГО ПУЧКА ВТОРИЧНЫХ ЭЛЕКТРОНОВ УСКОРИТЕЛЯ С-25Р «ПАХРА»» // arXiv: 1912. 08095; КСФ. 2020. №7. С. 18-23; ; DOI: 10.3103/S1068335620070027
5. Алексеев В.И., Басков В.А., Дронов В.А., Кольцов А.В., Львов А.И., Полянский В.В., Сидорин С.С. «МОНИТОРИРОВАНИЕ ФОТОННОГО ПУЧКА» // ПТЭ. 2020. № 6. С.11-16; DOI: 10.31857/S0032816220060014.
6. Алексеев В.И., Басков В.А., Дронов В.А., Кольцов А.В., Львов А.И., Полянский В.В. «ОПРЕДЕЛЕНИЕ ЭНЕРГЕТИЧЕСКИХ ХАРАКТЕРИСТИК ЭЛЕКТРОННОГО ПУЧКА С ПОМОЩЬЮ ЛЕГКОГО СЦИНТИЛЛЯТОРА» // ПТЭ. 2020. № 5. С.10-15; DOI: 10.31857/S0032816220050079.
7. В.И. Алексеев, В.А. Басков, В.А. Дронов, А.И. Львов, И.А. Мамонов, В.В. Полянский, С.С. Сидорин «ТЕСТОВЫЕ ПУЧКИ СИНХРОТРОНА ФИАН С-25Р «ПАХРА»» // ЯФИ («Ядерная физика и инжиниринг»), 2020, №10 (ещё в печати).
8. В.И. Алексеев, В.А. Басков, В.А. Дронов, А.И. Львов, А.В. Кольцов, Ю.Ф. Кречетов, В.В. Полянский, С.С. Сидорин «КАЛИБРОВКА ЛИВНЕВОГО СВИНЦОВО-СЦИНТИЛЛЯЦИОННОГО СПЕКТРОМЕТРА НА КОСМИЧЕСКОМ ИЗЛУЧЕНИИ» // arXiv: 2004.07695; КСФ. 2020. №9. С. 12-19; DOI: 10.3103/S106833562009002X
9. А.Г. Баранов, В.А. Басков, Ф.Ф. Губер, В.А. Дронов, А.П. Ивашкин, А.В. Известный, А.И. Львов, С.В. Морозов, В.В. Полянский, А.И. Решетин Г.Х. Салахутдинов «АМПЛИТУДНЫЕ ПАРАМЕТРЫ ПРОТОТИПОВ ПЕРЕДНИХ ГОДОСКОПОВ ДЛЯ ЭКСПЕРИМЕНТА BM@N» // ПТЭ (в сентябре 2020 направлена в печать)
10. Сотрудники установки MPD, В.А. Басков, И.А. Мамонов «Исследование характеристик и калибровка электромагнитного калориметра детектора NICA/MPD» // ПТЭ (в сентябре 2020 направлена в печать)

Results of 2019-2020, conferences and seminars

1. V. Alexeev, V. Baskov, V. Dronov, A. L'vov, A. Kol'zov, V. Polyansky «**Beams of “Pahra” accelerator of the P.N. Lebedev Physical Institute for calibrations of SPD detectors**», “SPD at NICA — 2019” workshop, 4-8.06.2019, Dubna
2. И. А. Мамонов И.А. «**Тестовые пучки синхротрона ФИАН С-25Р «Пахра»**», Молодежная конференция по теоретической и экспериментальной физике, МКТЭФ-2019, 25-28 ноября 2019 г., ИТЭФ
3. В.И. Алексеев, В.А. Басков, В.А. Дронов, В.А. Кольцов, А.И. Львов, Ю.Ф. Кречетов, Е.И. Малиновский, В.В. Полянский, С.С. Сидорин «**КАЛИБРОВОЧНЫЕ ПУЧКИ УСКОРИТЕЛЯ С-25Р**» семинар ОЯИ ТОП ФИАН, 13.12.2019 г., Троицк
4. В.И. Алексеев, В.А. Басков, В.А. Дронов, В.А. Кольцов, А.И. Львов, Ю.Ф. Кречетов, Е.И. Малиновский, В.В. Полянский, С.С. Сидорин «**CALIBRATION BEAMS OF THE S-25R ACCELERATOR**» “SPD at NICA — 2019” Seminar, 23.12.2019, Dubna

Conclusion

1. LPI synchrotron (in fact) becomes a calibration center for equipment and detectors in the field of nuclear physics.
2. Calibration beams have been created and are functioning:
bremsstrahlung photons,
electrons (positrons).
3. The possibility of creating a beam of neutrons.
4. There is an opportunity to rebuild the beam tagging photons.

Beams of the LPI synchrotron "Pakhra" for calibration of NICA detectors

Thanks for your attention!